

Dy-(Ce,Ag),  
Au

$\alpha$  A<sub>3</sub>       $A = Y, La, Ce, Pr, Nd, Eu, Dy$   
 $\beta$  =  $Co, Ni, Cr$ . (epitax. com., -pc)

Wernick J.H., Yellen S.,  
Acta crystallogr.,  
1959, 12, N9, 662-665.

PX, 1960, 16668 mi

ThCl<sub>2</sub> / JA - пекозеленокрасн 1963  
зеленый)

(специал. сеп-па) VIII 4365

Stora A. R., Benson T.E.,

Acta crystallogr.,

1963, 16, N<sup>o</sup> 7, 401-403



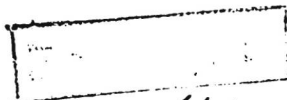
III

PX, 1964, 16/3 234

Sm Cu, Tb Cu, Dy Cu, Ho Cu, Tm Cu, 1964  
Y Zn, Nd Zn, Sm Zn, Er Zn, Tb Zn,  
Dy Zn, Ho Zn, Er Zn, Tm Zn.  
(refract. comp-pa) VIII 4221

Chao C.L., Luo H. L., Dussek P.,  
J. Appl. Phys., 1964, 35, n° 1, 257-

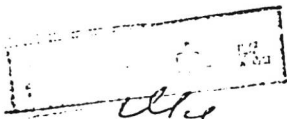
-258



P.M., 1964, 52137 III

elK (X=Pa<sub>2</sub>, space Ce & Pa; 1965  
X = Ca, Mg, Mn, Cr, Fe & Ti)  
(specie: esp-pa) VIII.4235

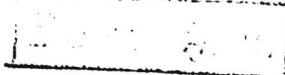
Tandelli A; Palenzona A.;  
y. Less - Common alltals,  
1955, ♀, wt, 1.-6



PK, 1966, 853:8

AB<sub>2</sub> /A-Sc, Y, P3M; B-Cu, Ag, Au/ 1967  
(kručev. cusp-pa) VIII 4440

Dwight A.E., Downey Y. D.,  
Conner R.A., Jr.,  
Acta crystallogr.,  
1967, 22, n<sup>o</sup>5, 445.



P.M., 1967, 102131 clle

$GdAg_2$ ,  $TbAg_2$ ,  $DyAg_2$ ,  $HoAg_2$ ,  
 $ErAg_2$ ,  $TmAg_2$ ,  $LuAg_2$ ,  $TbAu_2$ ,  
 $DyAu_2$ ,  $HoAu_2$ . 1967  
VIII 3862

(Kuccia. cùp-pa)

Ferro h, Capelli R, Borsese  
A., Delfino S.,

Atti Accad. Naz. Lincei.  
Rend. Gr. sci. fis. mat. e natur.,  
1967, 42, n<sup>o</sup> 1, 60-64  
P.M. 1967, 12432

$R X_2$  /  $R = P_3 \cup; R = P_1, T_3, P_1, T_1, C_1$  y  
 $(P_1, T_3, P_1, T_1, T_2)$  1968  
(spéc. esp.-pa')

VIII 4231  
Fondelli A., Palenzona A.,  
y - Tess - Common metals

1968, 15, a3, 273.-284



Pd, 1968, 12164

VIII

Lu Si<sub>2</sub>, Lu Si<sub>4</sub>,

1968

Lu Si<sub>3</sub>?

VIII 217

Sadiogofan V., Giesen B.C.,

Grant N.J.,

y. Less - Common Metals,

1968, 40, 279-290.

(40) see

PMLXIV, 185455 (1968)

VIII

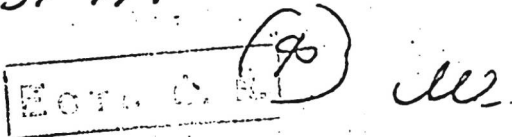
Ag<sub>3</sub> Zn

1968  
VIII 3890

Staab S., Bodel D., Löher C.

y. Less-Common Metals,

1968, 15, 137-141



PREXUS, 615478 (1969)

ZnAg<sub>5</sub>, CeAg<sub>5</sub>, PrAg<sub>5</sub>, YAg<sub>5</sub>, EuAg<sub>5</sub>, LuAg<sub>4</sub>, ScAg<sub>4</sub>,  
Yb<sub>2</sub>Ag<sub>7</sub>, TmAg<sub>3</sub>, LaMgAg<sub>51</sub>, Ce<sub>14</sub>Ag<sub>51</sub>, Pr<sub>14</sub>Ag<sub>51</sub>, Nd<sub>14</sub>Ag<sub>51</sub>,  
Sm<sub>14</sub>Ag<sub>51</sub>, Gd<sub>14</sub>Ag<sub>51</sub>, Dy<sub>14</sub>Ag<sub>51</sub>, Ho<sub>14</sub>Ag<sub>51</sub>, Er<sub>14</sub>Ag<sub>51</sub>,  
Y<sub>14</sub>Ag<sub>51</sub>

8 VIII 4869

Крас. ср-ва

Mediasters O. D., Schneider K. A., Jr.,

Benticher R. F.

"Acta crystallogr." 1940, B26, N9,

1224-1229 (акт.).

Химико-минеральные соединения с кристаллическими  
и аморфическими соединениями редких земель.  
Спб. 1941. № 25

PM, 1941, 4458

○ №

25

La Au, Ce Au, Pr Au, Nd Au<sup>1971</sup>,  
Sm Au, Gd Au, Tb Au, Dy Au,  
Ho Au, Er Au, Tm Au, Lu Au (Tm)

VIII 5145

Mc Master D.D., Schneidner  
K.H., Bruzzone G., Palen-  
zona A.,

J. Less-Common Metals, 1971, 25,  
N2, 135-60

CA71

A1

(cp)

1971

VIII-5984

DyAu<sub>2</sub>DyAg<sub>2</sub>(T<sub>tr</sub>)

8375y Magnetic properties of dysprosium-gold (DyAu<sub>2</sub>) and dysprosium-silver (DyAg<sub>2</sub>). Miura, S.; Kaneko, T.; Ohashi, M.; Kamigaki, K. (Res. Inst. Iron, Steel Other Met., Tohoku Univ., Sendai, Japan). *J. Phys. (Paris)* 1971, 32(2-3)(Suppl.), 1124-5 (Eng). The lattice parameters  $a$  and  $c$  (in Å), the Neel temps. ( $T_N$ , in °K), the asymptotic Curie points ( $-\sigma_\infty$ , in °K), and the effective magnetic moments per Dy atom (in  $\mu_B$ ), resp., of the intermetallic compds. with the MoSi<sub>2</sub>-type crystal structure (A. Dwight, et al., 1967) are: DyAu<sub>2</sub>, 3.694, 8.96, 31, 13, 10.6; DyAg<sub>2</sub>, 3.696, 9.29, 9, 25, 10.5. The magnetic susceptibility ( $\chi$ ) of DyAg<sub>2</sub> and DyAu<sub>2</sub> followed a Curie-Weiss law at 130-300 and 180-300°K, resp. For DyAu<sub>2</sub>,  $\chi$  increased discontinuously at  $\sim 25^{\circ}\text{K}$ , the magnetization ( $M$ ) at 4.2°K increased with 2 discontinuous steps as the magnetic field ( $H$ ) increased; with increasing temp., the discontinuous behavior in  $M$  became less distinct and vanished at  $> 25^{\circ}\text{K}$ . This behavior in DyAu<sub>2</sub> was interpreted in terms of an antiferromagnetic structure change. In DyAg<sub>2</sub> at low temp., spin-flipping was obsd. at  $H \sim 35$  kOe, and  $M$  was proportional to  $H$  at  $H > 50$  kOe.

C.A. 1974. 80. N2

VIII-5822

1973

Cu<sub>3</sub>DyS<sub>3</sub> u gp. (a fc)

Алиев У.М., Гашевов Р.С., Чесейков Г.Г.,  
Амидиевов М.А.,

Ул. АН ССР. Неорг. материалы,

1973, №5, 843-844

Мн. его ф.к.

Dyce

1973

Basha A. F.

Turkestan

Tz. Merkhdunar Konf.  
Magn. 1973 (Pub 1974) 3,  
43-8 (Russ)

(cav gd Cu; III)

1973

102929n Samarium-gold and dysprosium-gold alloy systems. McMasters, O. D.; Gschneidner, K. A., Jr. (Ames Lab., Iowa State Univ., Ames, Iowa). *J. Less-Common Metals* 1973, 30(3), 325-42 (Eng): Phase diagrams of the Sn-Au and Dy-Au alloy systems based on microscopic, DTA and x-ray diffraction are proposed. Six intermetallic compds.,  $Dy_2Au$ ,  $DyAu$ ,  $DyAu_2$ ,  $DyAu_3$ ,  $DyAu_{3.6}$  and  $DyAu_6$ , form in the Dy-Au system.  $DyAu$ ,  $DyAu_2$  and  $DyAu_3$  melt congruently and the other 3 decompose peritectically. Four eutectic points exist at 21.0 at. % Au and  $935^\circ$ , 62.0 at. % Au and  $1235^\circ$ , 73.0 at. % Au and  $1185^\circ$ , and 90.5 at. % Au and  $808^\circ$ . In the Sm-Au system 2 compds. with tentative stoichiometries,  $Sm_6Au_7$  and  $Sm_7Au_{10}$  were found in addn. to the six with the Dy-Au stoichiometries.  $SmAu$ ,  $SmAu_2$  and  $SmAu_{3.6}$  melt congruently while the remaining 5 compds. decompose peritectically. The 4 eutectic points are 19.0 at. % Au and  $705^\circ$ , 63.5 at. % Au and  $1080^\circ$ , 72.0 at. % Au and  $1085^\circ$ , and 88.5 at. % Au and  $770^\circ$ .  $SmAu_3$ ,  $SmAu$  and  $DyAu$  are dimorphic. The terminal solid solubilities are given and the crystallog. data for the compds. are presented. The lattice parameters of  $SmAu_3$  as compared to those of the other trivalent  $RAu_3$  compds. are anomalous, suggesting the electron distribution in  $SmAu_3$  is different from that in the other  $RAu_3$  phases.

(T<sub>m</sub>)

C.A. 1973 N 16 78

(+)



DyAu<sub>2</sub>

VIII - 5695

1973

(T<sub>tz</sub>)

141424p Electric resistivity and thermal expansion of dysprosium-gold (DyAu<sub>2</sub>). Ohashi, Masayoshi; Kaneko, Takejiro; Miura, Shigeto; Kamigaki, Kazuo (Res. Inst. Iron, Steel Other Met., Tohoku Univ., Sendai, Japan). *J. Phys. Soc. Jap.* 1973, 34(2), 553 (Eng). Anomalies in elec. resistivity at 22.4 and 31.5°K and in thermal expansion at 22 and 30.6°K are attributed to magnetic transitions involving the  $\beta$  phase (a layer antiferromagnetic spin structure) at lower temp. and the  $\alpha$  phase (a linear transverse wave spin structure).

C.A. 1973. 78 N 22

Ug CdTe<sub>2</sub>, Ag Dy Te<sub>2</sub>, Ag Ho Te<sub>2</sub>, 1973

Ug Er Te<sub>2</sub>, Ag Y Te<sub>2</sub> (Tl) VII 5474

Pardo M.-P., Mme, Julien-Pouzol M,  
Mme, Flahaut J.

C. R. Acad. Sci., 1973, C276, N7, 599-602/прем

Соединение мунаг AgInTe<sub>2</sub>, образующее  
редкоземельные эвтектические

РНХУМ, 1973  
145896

Б 99

DyAu<sub>2</sub>

1973

Sill Bell. Show, San Pedro A.J.

Magn. and Magnetic Meter.

16th Annual Conf., Denver, Colo., October  
1973, KG-234.

(cub. GdAu<sub>2</sub>; I)

DyAg<sub>1-x</sub>In<sub>x</sub> XII/17 - 1107

1974

161342a Magnetic properties of dysprosium silver indium  
(DyAg<sub>1-x</sub>In<sub>x</sub>) compounds. Yamao, Katsuma; Fuji, Hiro-  
nobu, Okamoto, Hashimoto, ... Ma., Hiroshima Univ., Hiro-  
shima, Japan). *J. Phys. Soc. Jpn.* 1974, 37(2), 564 (Eng).  
The magnetizations and susceptibilities of DyAg<sub>1-x</sub>In<sub>x</sub> compds.  
were measured in fields  $\leq 15.2$  kOe at temps. from 4.2°K to  
room temp. The effective magneton nos. for  $x = 0, 0.1, 0.4,$   
and 0.5 compds. are 10.8, 10.8, 10.9, and 10.9, resp. The para-  
magnetic Curie temp.  $\theta_p$  increases with increasing  $x$ , becoming  
pos. at  $x = \approx 0.3$ . The Neel temp.  $T_N$  exhibits a min. around  
the In concn. corresponding to  $\theta_p = 0^\circ\text{K}$ , i.e.,  $x \approx 0.3$ . The  
results cannot be explained on the basis of simple Ruderman-  
Kittel-Kasuya-Yosida interaction in the free electron model.

(T<sub>Neel</sub>)

C.I. 1974.81

N24

DyAu<sub>2</sub>Si<sub>2</sub>

BSP366-XVIII

1975

Felner J.

(T<sub>tr</sub>)

J. Phys Chem Solids 1975,  
36(10) 1063-6 (Eng)

(au CaAu<sub>2</sub>Si<sub>2</sub>; I)

DyCu<sub>5</sub>

X6-9745

1975

Ср

Ttr

Д 1 Б722. Низкотемпературная теплоемкость и магнитные свойства DyCu<sub>5</sub>. Narasimhan K. S. V. L., Klein M. J., ~~Butera~~ R. A. Low temperature heat capacity and magnetic studies on DyCu<sub>5</sub>. «J. Solid State Chem.», 1975, 14, № 3, 313—316 (англ.)

Сплавлением в индукц. печи в атмосфере аргона Dy (99,99%) и Cu (99,999%) получены образцы DyCu<sub>5</sub> (I), имеющие кубич. структуру. Чистота полученных образцов контролировалась рентгенографически. В интервале 1,4—11°К изучена теплоемкость I. При  $T = 6,55^{\circ}\text{K}$  обнаружена аномалия  $\lambda$ -типа, связанная с антиферромагнитным упорядочением, причем в области  $T > T_N$  теплоемкость убывает гораздо медленнее, чем при  $T < T_N$ . Оценки изменения энтропии показали, что кратность выделения основного состояния ниже, чем

х 1976н1

( $2J+1$ ). В широком интервале т-р при  $H=6$  и 20 кэрстед изучена намагниченность I. Обнаруженная зависимость т-ры антиферромагнитного перехода от напряженности внешнего магнитного поля объяснена метамагнитными св-вами материала. При  $T=4,2^{\circ}\text{K}$  изучена зависимость намагниченности от поля. Установлено, что величина обменного поля в I составляет  $\sim 52$  кэрстед, а насыщающий магнитный момент при  $H=120$  кэрстед равен  $9,28 \beta$ , что меньше, чем  $gJ=10 \beta$  для  $\text{Dy}^{3+}$ . На основании полученных данных с привлечением данных по теплоемкости сделан вывод, что основное состояние включает мультиплет  $15/2$  и четырехкратно вырождено.

Ю. В. Ракитин

DyCu<sub>5</sub>

HS - 9745

1975

(Cp)

+ 169289a Low temperature heat capacity and magnetic studies on dysprosium-copper (DyCu<sub>5</sub>). Narasimhan, K. S. V. L.; Klein, M. J.; Butera, R. A. (Dep. Chem., Univ. Pittsburgh, Pittsburgh, Pa.). *J. Solid State Chem.* 1975, 14(3), 313-16 (Eng). Low temp. heat capacity studies on DyCu<sub>5</sub> [12444-39-2] revealed a  $\lambda$ -anomaly at 6.55°K. Evaluation of the entropy indicated that the ground state is not  $(2J + 1)$  fold degenerate. High field magnetization data yield a moment of 9.28  $\mu_B$  at 4.2°K and 120 kOe.

C-A. 1975.83 N20

Ag-Dz. DC; Ag<sub>x</sub>Dz<sub>y</sub> - T melt. 1976

Delfino S., Ferro L., Capelli R., Borsig A.

"J. Less - Common Metals," 1976, 44,  
267 - 271 (anex.). XVIII - 1192

Разобрано рабочее окно в системе  
серебро - гексагональ.

4  
Prav, 62227, 1976

As, B.

GdAg<sub>2</sub>, TbAg<sub>2</sub>, DyAg<sub>2</sub>, HoAg<sub>2</sub>,  
ErAg<sub>2</sub> (Tieel). VIII 287

1975

Ohashi M., Kaneko T., Miura S.

J. Phys. Soc. Jap., 1975, 38 (2),  
588.

Electric resistivity of the  
antiferromagnetic compounds...

C.A. 1975, 83 n<sup>2</sup>. 209135

As (P)

Dy Cu<sub>2</sub>

(T<sub>bc</sub>)

Hashimoto Yuzo.

1976

J. Phys. Soc. Jpn.

1976, 40(5) 1519-20 (eng)

(cu Tb Cu<sub>2</sub>; I)

1977

AuDy  
AgDy

2 Б801. Экспериментальное определение и предсказание энергий диссоциации AuDy·(газ) и AgDy (газ).  
Hilpert K. Experimental determination and prediction of the dissociation energies of AuDy(g) and AgDy(g). «Ber. Bunsenges. phys. Chem.», 1977, 81, № 3, 348—349 (нем.)

Масс-спектрометрическим методом исследовано газофазное равновесие  $M\text{Dy} \rightleftharpoons M + \text{Dy}$  (1) в интервалах т-р 1710—2133 К ( $M=\text{Au}$ ) и 1579—2037 К ( $M=\text{Ag}$ ), а также  $M + M\text{Dy} \rightleftharpoons M_2 + \text{Dy}$  в интервалах 1948—2133 К и 1579—1962 К соотв. Значения констант и функций свободной энергии указанных равновесий табулированы. Для (1)  $\Delta H_0^0 = 254 \pm 20$  и  $124 \pm 19$  кдж/моль, для (2)  $\Delta H_0^0 = 33,9 \pm 18,8$  и  $-34,3 \pm 17,4$  кдж/моль соотв. для  $M=\text{Au}$  и  $\text{Ag}$ .

А. Гузей

Х, 1978, №

70329.6711

TC, Ch, Ph

(4149) 50701 AuDy  
AuDy

1977

X-5-17644

Hilpert K. Experimental determination and prediction of the dissociation energies of AuDy(g) and AgDy(g).

"Ber. Bunsenges. phys. Chem.", 1977, 81,

№ 1, 30-33 (англ., рез. нем.)

(см. AuDy, III)

0841 ник

807 816 832

ВИНИТИ

1977

*Ag-Dy  
(сплав)*

9 Е289. Эффект Шоттки в Ag:Dy. Parker F. T., Oestergaicher H., Epo H. Schottky effect in Ag:Dy. «Phys. Rev.», 1977, B16, № 10, 4382—4384 (англ.)

В интервале т-р 1,6—10° К методом периодич. нагрева изучена температурная зависимость  $C(T)$  теплоемкости сплава Ag:Dy, содержащего 40 наномолей  $^{164}\text{Dy}$ . Из эксперим. зависимости  $C(T)$  определена теплоемкость Шоттки, обусловленная возбуждением ионов  $\text{Dy}^{3+}$  и энергетич. интервал  $\Delta$  между основным и первым возбужденным состоянием  $\text{Dy}^{3+}$ . Полученное значение  $\Delta=11,7$  К хорошо согласуется с соответствующим значением, определенным из измерений ЭПР. Р. Д.

9.1978 №

paclop Dy & Ag. 1987

88: 111408a Schottky effect in silver:dysprosium. Parker,  
F. T.; Oesterreicher, H.; Eno, H. (Dep. Chem., Univ  
California, La Jolla, Calif.). *Phys. Rev. B* 1977, 16(10), 4352-4  
(Eng). Heat capacity measurements on dil. Dy in Ag yield a  
sepn. of 12 K between the ground and 1st crystal-field states of  
Dy<sup>3+</sup>.

(C<sub>p</sub>)

C.A. 1988, 88, N16

DyCu<sub>3</sub>  
(Invar)

1978

89: 189969z Linear specific heat of an amorphous magnet due to single-ion excitations. Coey, J. M. D.; Von Molnar, S. (Groupe Transitions Phases, CNRS, Grenoble, Fr.). *J. Phys. (Paris), Lett.* 1978, 39(18), 327-30 (Eng). The sp. heat of an amorphous Dy-Cu alloy includes a large linear contribution ( $\gamma = 155 \text{ mJ/mol K}^2$ ) at temps. well below the sharp spin-freezing transition at  $T_f = 18 \text{ K}$ . This can be simply explained in terms of single-ion excitations of a Kramers ion interacting with a random oriented crystal field and a weaker magnetic field.

(C<sub>p</sub>)

C.A. 1978. 89 N22

1978

AgDy

Ag<sub>3</sub>Dy

(T<sub>m</sub>)

89: 153466u Phase diagram of the silver-dysprosium system. Guzei, L. S.; Slavev, A.; Raevskaya, M. V.; Sokolovskaya, E. M. (Mosk. Univ., Moscow, USSR). *Vestn. Mosk. Univ., Ser. 2: Khim.* 1978, 19(3), 293-7 (Russ). The Ag-Dy phase diagram was constructed by using thermal anal., microstructural, durometric, microhardness, and x-ray phase anal. methods. The existence of Ag<sub>2</sub>Dy, AgDy, and Ag<sub>0.5</sub>Dy was confirmed. Ag<sub>2</sub>Dy forms by peritectic reaction at 950°. AgDy and Ag<sub>0.5</sub>Dy congruently m. 1180, 960°, resp. Eutectics occur at 800, 905, 870° and Dy 10, 29, 69 at.%, resp. Magnetic susceptibility of these alloys was detd. as a function of Dy content (5-95 at.%) and temp.

CA 1978, 29, N 18

1978

Ykonomou P.F., et al

DyAu<sub>3,6</sub>

J. Less-Common Met.

Turie

1978, 53(1), 51-56



(Cu PrAu<sub>3,6</sub>;  $\bar{1}$ )

DyCuz

Lommel 8396 / 1979

Hashimoto Y., et al.

(Taurie)

J. Phys. Soc. Japan.  
1979, 47 (1), 67-72

Дуих

1982

Кристал.  
Структура,  
 $T_m$

5 Е496. О системе Dy—Cu. On the Dy—Cu system.  
Franceschi Eпгісо. «J. Less-Common Metals»,  
1982, № 2, 249—256 (англ.)

Методами дифференциального термич. анализа, рентгеновской дифракции, металлографии, измерения микротвердости по Виккерсу  $H_V$  исследована фазовая диаграмма системы Dy—Cu. Образцы получены дуговой плавкой стехиометрич. смесей элементов в Мо-контейнерах в атмосфере Ar. Обнаружены 6 промежуточных фаз, из которых 3 ( $DyCu$ ,  $DyCu_2$  и  $Dy_2Cu_9$ ) являются конгруэнтно, а 3 другие ( $Dy_2Cu_7$ ,  $DyCu_5$  и  $DyCu_7$ ) образуются по перитектич. реакции. Т-ра плавления  $T_m$  соединения  $DyCu$   $955^\circ C$ , оно имеет кубич. структуру типа  $CsCl$  с параметром решетки  $a=3,455 \text{ \AA}$ ; величина  $H_V=275 \text{ кг}/\text{мм}^2$ .  $DyCu_2$  кристаллизуется в орторомбическом структурном типе  $CaCu_5$ ; параметры  $a=4,303$ ;  $b=6,802$ ;  $c=7,289 \text{ \AA}$ ;  $H_V=395 \text{ кг}/\text{мм}^2$ ;  $T_m=890^\circ C$ . Пластинчатые кристаллы  $Dy_2Cu_9$  имеют тет-

φ 1983, 18, N5.

раг. симметрию;  $a=4,999$ ;  $c=13,94$  Å;  $T_m=970^\circ\text{C}$ .  
 $\text{Dy}_2\text{Cu}_7$  с неустановленной структурой образуется перитектически при  $905^\circ\text{C}$  и разлагается вблизи эвтектического 845° С. Перитектический т.-ра для  $\text{DyCu}_5$  со структурой типа  $\text{AuBe}_5$  равна  $965^\circ\text{C}$ . Соединение  $\text{DyCu}_7$ , образующееся перитектически при  $860^\circ\text{C}$ , не выделено в чистом виде, однако обнаружено путем термич. и металлографич. анализов. Система Dy—Cu имеет 4 эвтектики: при 30,0 ат.% Cu ( $790^\circ\text{C}$ ), 60,5 ат.% Cu ( $840^\circ\text{C}$ ), 71,0 ат.% Cu ( $845^\circ\text{C}$ ) и 90,0 ат.% Cu ( $855^\circ\text{C}$ ). Между  $\text{DyCu}_5$ ,  $\text{DyCu}_7$  и Cu существует эвтектоидное равновесие при  $775^\circ\text{C}$  и 87,5 ат.% Cu. Не обнаружены твердые растворы Dy в Cu и Cu в Dy. Библ. 16. А. И. К.

ЛН  
A.

Дүлгүр<sub>12</sub> Яншиков Н. Ф.,  
Лебедев В. А. и др.

1984

Пробл. колючих терм. и хим.

термо- термодинам. Докл. На 10 Всеэ.

дем.

конф., 12-14 июня, 1984.

образо-

Т. 2. Черноголовка, 1984,

бум.

521-523.

(см. Ду Pb<sub>3</sub>; I)

DyZn<sub>8,5</sub> 1984  
Янсуков Н. Ф.,  
Лебедев В. А. и гр.

Проба. Калориметрический.

термо-  
дин.  
образо-  
вани.

термодинам. Докл. № 10  
Всес. конф., 12-14 июня, 1984,  
г. Черноголовка, 1984,  
521-523.

(см. DyPb<sub>3</sub>; I)

Audy(2) OM-23253 1985

Fingerich R. A.,

J. Less-Common Metals,

Kp, Af, H; 1985, 110, N1-2; 41-51:  
Int. Rare Earth Conf.,  
Zürich, March 4-8, 1985,

Pt 1.

AgDy

1985

106: 183417r. The Ag-Dy (silver-dysprosium) system. Gschneidner, K. A., Jr.; Calderwood, F. W. (Iowa State Univ., Ames, IA USA). *Bull. Alloy Phase Diagrams*, 1985, 6(1), 15-17, 71-2 (Eng). The Ag-Dy phase diagram was crit. assessed. Crystal structure and lattice parameter data are given for the various phases. Heat of reaction, heat of formation and dissociation energy of AgDy are also given.

(SfH, d0)

c. A. 1987, 106, N22

CuDyx

[Om. 25859]

1986

Sommer F., Schott Y.,  
Predel B.,

metalogr.

Y. Hess - Connor Metals,  
1986, 125, NT-2, 175-181.

CuDyx

Chulab

1986

, 106: 108852a Thermodynamic investigations of copper-dysprosium, copper-erbium, copper-gadolinium and copper-lanthanum alloys. Sommer, Ferdinand; Schott, Joachim; Predel, Bruno (Max-Planck-Inst. Metallforsch., Univ. Stuttgart, D-7000 Stuttgart, Fed. Rep. Ger.). *J. Less-Common Met.* 1986, 125, 175-81 (Eng). The heats of formation of intermetallic compds. of Cu with Dy, Er, Gd and La were detd. by soln. calorimetry in liq. Sn at 1100 K. The heat of mixing of the liq. alloys was obtained by measuring addnl. enthalpy of melting of the compds. The results are discussed on the basis of the Miedema model and in connection with glass-forming ability of these alloys.

(ΔfH)

CuGdx, CuErx, CuLax

⑦ ⑧



C.A. 1987, 106, N14

DyAg

[Om. 28345]

1987

Kaneko T., Yoshida H.,  
et al.,

математ.

справочника

g. Mayr. and Mayr.  
Mater.; 1987, 70, N1-3,

277-78.

Dy Cu<sub>3</sub>

1988

Kimura T.,  
Iwata N., et al.

( $\varrho$ ,  $T_{\text{Nel}}$ ) J. Magn. Magn. Ma-  
ter. 1988, 76-77,

● 191-2.

(cer. Tb Cu<sub>2</sub>; ?)

Dy Gex

[OM. 31707]

1988

Kimura T., Iwata N.,  
Ikeda T., et al.,

(Ttr, G) J. Magn. and Magn.  
Mater. 1988, 76-77, 191-192.

*Ag Dy S<sub>2</sub>*

1989

110: 180220t Interactions in the silver sulfide-lanthanum sulfide ( $\text{Ln}_2\text{S}_3$ ) systems (Lu = cerium, dysprosium). Andreev, O. V. (Tyumen. Gos. Univ., Tyumen, USSR). *Zh. Neorg. Khim.* 1989, 34(2), 482-6 (Russ). Temp.-comprn. phase diagrams were constructed for the title systems from DTA, microhardness, microstructural, visual-polythermal, and x-ray phase anal. data. Solid solns. based on  $\gamma$ - $\text{Ce}_2\text{S}_3$  or  $\gamma$ - $\text{Dy}_2\text{S}_3$  (structure type  $\text{Th}_3\text{P}_4$ ) extend to 15 (1270 K) or 6 mol.%  $\text{Ag}_2\text{S}$  (1760 K), resp. The  $\text{AgDyS}_2$  phase formed at 1280 K undergoes a phase transition from a low-temp. monoclinic  $\alpha$  modification to a high-temp. cubic  $\gamma$ -modification ( $a$   $0.6620 \pm 0.0005$  nm) at 1320 K. The compd. congruently m. 1830 K.

( $T_m$ )

C.A. 1989, 110, N 20

Dy Au

[om. 35220]

1989

Dy Ag

Chandrasekhariah M.S.,  
Gingerich R.A.

( $\Delta H_f^\circ, \Delta G^\circ$ )

Handbook on the Physics  
and Chemistry of rare  
earths, vol. 12.

Edited by K.A. Fischer and K.A.,

Jr., and L. Eyring Elsevier  
Science Publishers B.V., 1989.

Dylie [om. 35220] 1989

Chandrasekhariah M. S.,  
Fingerich R. A.,

( $\Delta H_f$ ,  $\vartheta_0$ ) Handbook on the Physics  
and Chemistry of rare  
earths, vol. 12.

Edited by R. A. Fischer Schneider K. A.,

Jr., and L. Eyring Elsevier  
Science Publishers B.V.,  
1989.

Dyazizel5 (DM 32715) 1989

Мошаков В. В., Самарен  
M. A. 21 gr.,

Ср; Сверхпроводимость гелия,  
Химия, Техн. 1989, 2,  
N11, 18-23.

$Dy_2 Cu_2 O_5$

1989

Мончаков В. В.,  
Сарапул Г. А. и др.  
Сверхпроводимость:  
Dy<sub>2</sub>, кристалл, межн.  
1989. № 11. С. 18-23.

(см.  $\frac{Y_2}{2} Cu_2 O_5$ )

DyCu 1990  
Chien Teh Shih.

(P) Diss. Abstr. Int. B  
1990, 51(3), 1340-1.

(Cu.  GdCu; I)

$Dy_2 Cu_2 O_5$  1990

Fomiev A.A.,  
Shter G.E. et al.

(T<sub>m</sub>) Sverkhprovodimost': Fiz.  
Khim., Tekh. 1990, 3(6),  
1071-4.

(euc.  $Eu_2 CuO_4$ ; T)

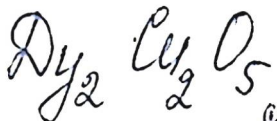
Dyačukov [om. 34863] 1990

Moshchalkov V.V.,  
Samarin N.A., et al.,

( $C_p$ , 2-30K)

Physica, 1990, 163B,

237-238.



1990

elashchakov V.V.,  
Samarin N.A. et al.

( $\rho$ , 2-30K)  $\gamma$ ,  $\alpha$ agn. and  $\beta$ agn.  
Mater. 1990. 90-91, C.  
533-535.

(Celi.   $\text{Y}_2 \text{Cu}_2 \text{O}_5$ ;  $T$ )

Dy<sub>2</sub>O<sub>3</sub>D5

1990

У 24 Б3107. Фазовые соотношения в системе CuO<sub>x</sub>—Dy<sub>2</sub>O<sub>3</sub> / Штер Г. Е., Фотиев А. А., Космынин А. С., Гаркушин И. К., Трунин А. С., Балашов В. Л. // Физ.-хим. основы синтеза и свойства высокотемператур. сверхпроводящ. матер. Анализ, структура, свойства: Инф. матер.— Свердловск, 1990.— С. 51—54.— Рус.

Методами ДТА, РФА и с помощью визуальных наблюдений изучены фазовые соотношения в системе Dy<sub>2</sub>O<sub>3</sub> (I) — CuO<sub>x</sub> (II). Приведена часть фазовой диаграммы системы I—II (до ~35 мол.% I) до т-ры 1300° С. В системе образуется соединение Dy<sub>2</sub>Cu<sub>2</sub>O<sub>5</sub> (III) с т. разл. ~1112° С с образованием тв. т-ра I—II. В системе образуется эвтектика при 5,3 мол.% I с т. пл. 1120° С. II ( $x=1,0$ ) переходит в II ( $x=0,5$ ) при ~1040° С. Выше этой т-ры система I—II рассматривается как тройная I—Cu<sub>2</sub>O—CuO. Приведены межплоскостные расстояния для I, II и III. Л. Г. Титов

X. 1990, № 24

DyCu

1991

Ho James C., He Shelin  
et al.

( $\rho$ , 2-80K) Chin. J. Phys. (Tai-  
pei) 1991, 29 (2), 147-  
155. (cusp, Tc; I)

Ду Аз2.4 Аз2.6.

1992

Синемаковас Є.М., Лукіна О.Б;

структура Кристаллографія; 1992,  
37, № 5, с. 1384 - 1337

Під час створення Ду Аз2.4 Аз2.6 в етапі  
Кристал. структурі  
Р.д. № 8, 1993,

852042

БезДуб  
и Дуб

1993

16 Б3063. Фазовые равновесия в системе  $\text{Cu}_2\text{S}$ — $\text{Dy}_2\text{S}_3$   
/Андреев О. В. //Ж. неорган. химии.—1993.—38, № 4  
—С. 687—692.—Рус.

Построена Т—x-проекция диаграммы состояния системы  $\text{Cu}_2\text{S}$ — $\text{Dy}_2\text{S}_3$ . В системе образуются две тройные фазы  $\text{Cu}_3\text{DyS}_3$  и  $\text{CuDyS}_2$ , каждая из к-рых существует в виде трех полиморфных модификаций. Область гомогенности низкот-рной  $\alpha$ -модификации фазы  $\text{Cu}_3\text{DyS}_3$  локализована вблизи состава дальтонида  $\text{Cu}_3\text{DyS}_3$ . Среднет-рная  $\beta$ -модификация в однородном состоянии существует в интервале 580—1135 К, 16(970 К) — 39(1050 К) мол.%  $\text{Dy}_2\text{S}_3$  и имеет гексагон. структуру с параметрами элементарной ячейки: а.0,387, с 0,633 нм (25 мол.%  $\text{Dy}_2\text{S}_3$ ).  $\gamma$ -Модификация существует от 1050 до 1590 К в границах составов 12(1390 К) = 40.5(1560. К) мол.%  $\text{Dy}_2\text{S}_3$ , структура фазы кубическая (примитивная ячейка): а 0,659 нм (25 мол.%

(T<sub>E2</sub>)

X. 1993, N 16

$\text{Dy}_2\text{S}_3$ ). Т-ра обратимых переходов  $\alpha\text{-Cu}_3\text{DyS}_3 \rightleftharpoons \beta\text{-}$  модификация, последняя в зависимости от состава при 1050—1135 К переходит в  $\gamma$ -модификацию.  $\text{Cu}_3\text{DyS}_3$  имеет максимум плавления при 1590 К и 37 мол.%  $\text{Dy}_2\text{S}_3$ . Полиморфные переходы фазы  $\text{CuDyS}_2$  описываются равновесием  $\alpha\text{-CuDyS}_2 \rightleftharpoons \beta\text{-CuDyS}_2 \rightleftharpoons \gamma\text{-CuDyS}_2$ .  $\alpha\text{-CuDyS}_2$  имеет ромбич. структуру:  $a = 0,63$ ,  $b = 1,365$ ,  $c = 0,392$  нм. При скоростях охлаждения до 100 град/с  $\beta$ - и  $\gamma$ -модификации в станд. условиях не зафиксированы. Фаза  $\text{CuDyS}_2$  перитектически плавится при 1600 К. Эвтектики в системе образуются при 1390 К и 1,3 мол.%  $\text{Dy}_2\text{S}_3$ , 1560 К и 43 мол.%  $\text{Dy}_2\text{S}_3$ . В  $\gamma\text{-Dy}_2\text{S}_3$  при 1470 К растворяется 7 мол.%  $\text{Cu}_2\text{S}$ .



$\text{Li}_2\text{D}_4\text{O}_5$

1993

Jacob K.T., Mathew T.,  
et al.,

( $\Delta_f H_f$ ,  $\Delta_f S_f$ , High Temp. Mater. Proces-  
 $\Delta_f H_f$ )  
ses 1993, 1214, 251-8.

(all.  $\text{Li}_2\text{P}_2\text{O}_5$ , I)

DyO<sub>1-x</sub>S<sub>x</sub>

1995

Berdonosov P.S., Kesaninova A.Y.  
et al.,

J. Solid State Chem. —  
1995, 118, N 1, C. 79-77.

(all.



Bi<sub>2</sub>O<sub>3</sub>Se; [5])

Л.И. Дубов

1995

17Б319. Энергия образования Гиббса  
 $\text{Cu}_2\text{R}_2\text{O}_5$  ( $\text{R}=\text{Dy}, \text{Ho}, \text{Er}, \text{Yb}$ ) из оксидов компонентов, полученная с использованием гальванических элементов с твердым оксидным электролитом. Gibbs energy of formation of  $\text{Cu}_2\text{R}_2\text{O}_5$  ( $\text{R}=\text{Dy}, \text{Ho}, \text{Er}, \text{Yb}$ ) from component oxides employing solid oxide electrochemical cells: Pap. 10th Int. Conf. Solid State Ionics, Singapore, Dec. 3-8, 1995. Pt 2 / Kale G. M., Kumar R. V., Fray D. J. // Solid State Ionics.— 1996.— 86-88, Pt 2.— С. 1421-1425.— Англ.

ДМС



(+3)

$\text{Cu}_2\text{Ho}_{2}\text{O}_5$ ,  $\text{Cu}_2\text{Er}_{2}\text{O}_5$ ,  $\text{Cu}_2\text{Yb}_{2}\text{O}_5$



Х. 1997, N 17

Ces Dials

[OM 38335]. 1996

Kale F.M.,

156 g. solid state Chem.  
1996, 125, N1, 13-18

Dy - Co

1996

125: 254292b Thermodynamic assessment of Dy-Co system. Su, Xuping; Zhang, Weijing; Du, Zhenmin; Zhuang, Yuzhi (South China Univ. Technol., Canton, Peop. Rep. China 510641). *Rare Met. (Beijing)* 1996, 15(3), 222-229 (Eng). The phase diagram and thermodn. data of the Dy-Co system were critically assessed by means of the computer programs PARROT and THERMO-CALC, using models for the Gibbs energy of individual phases. The system contains seven different intermetallic compds. Good agreement is obtained between the calcn. and exptl. results.

May. 1996

C.A. 1996, 125, N 20

F: DyCu2O<sub>4</sub>

P: 1

19Б2261. Кристаллизация LnCu[2]O[4] (Ln=La, Nd, Sm, Eu, Dy, Ho, Y, Er) из расплава гидроксидов: Синтез и структура. Crystallization of LnCu[2]O[4] (Ln=La, Nd, Sm, Eu, Gd, Dy, Ho, Y, Er) from hydroxide melts: synthesis and structure / Luce J. L., Stacy A. M. // Chem. Mater. - 1997. - 9, 7. - С. 1508-1515.. - Англ.

Место хранения ГПНТБ России Из расплавов NaOH/КОН при 350-400{°}С синтезированы купраты LnCu[2]O[4] (Ln=La, Nd, Sm, Eu, Gd, Dy, Ho, Y, Er) ( I), определено влияние условий эксперимента (относительные количества NaOH и KОН, количества реагентов, температура, время введения реагентов) на выход, чистоту и кристалличность I. В целом, образование I благоприятствуют сухой сильно

1997

окислительный расплав с большими количествами растворенных реагентов. Полнопрофильным ритвелдовским анализом порошковых рентгеновских данных определены монокл. структуры всех I (ф. гр. 12/а). Атомы Ln локализованы в искаженных квадратных антипризмах (4 атома O(1) и 4 атома O(2)). Каждый полиэдр  $\text{LnO}_8$  сочленен ребрами с тремя другими  $\text{LnO}_8$  с образованием трехмерного расположения. Уменьшение длин связей Ln-O в I коррелирует с уменьшением радиуса ионов  $\text{Ln}^{3+}$  и объемов элементарных ячеек. Каждый атом Cu находится в искаженной плоско-квадратной геометрии (2 атома O(1) и 2 атома O(2)). Средние расстояния Cu-O не сильно изменяются с размером ионов  $\text{Ln}^{3+}$ .

Ag<sub>2</sub>DyO<sub>3</sub> 1998

Ag<sub>2</sub>DyCl<sub>5</sub> Kudin L.S. et al.,

Proc. - Electrochem. Soc.  
(1998) 1998, 98-9, 580-93

(Ag<sub>2</sub>Dy<sup>0</sup><sub>298</sub>)

(Cu-Dy-Y<sub>2</sub>O<sub>3</sub>; I)

DyCu<sub>2</sub>(kp)

1999

, 130: 290386x Specific heat of DyCu<sub>2</sub> single crystals in high magnetic fields. Dorr, M.; Loewenhaupt, M.; Hahn, W.; Bruck, E.; Hagmusa, I. H.; Klaasse, J. C. P.; Rotter, M. (Institut fur Angewandte Physik, Technische Universitat Dresden, D-01062 Dresden, Germany). *Physica B (Amsterdam)* 1999, 262(3&4), 340-347 (Eng), Elsevier Science B.V.. Sp. heat measurements on DyCu<sub>2</sub> single crystals in magnetic fields of 0, 1.7 and 4.0 T parallel to the a-direction were performed between 0.3 and 50 K. Various 2nd order transitions due to the strong magnetic anisotropy of the compd. were found in accordance with the phase diagram that was derived from magnetization and thermal expansion measurements. The nearly vertical phase transition lines at 5 K in the ferrimagnetic F1 phase and at 6 K in the ferromagnetic F2 phase can be confirmed by the present data. Also, the temp. dependence of the Ising-axis conversion field of DyCu<sub>2</sub> was complemented by sp. heat and magnetocaloric studies in fields parallel to the c-direction.

(4)

C.A., 1999, 130, N21

DyAl<sub>2</sub>

2001

Ferro et al.,

J. Alloys Compd. 2001,  
321(2), 248-60

D<sub>f</sub>H<sup>0</sup>

μM

300K

(all. Latte (●); I)